

Blade R downlight

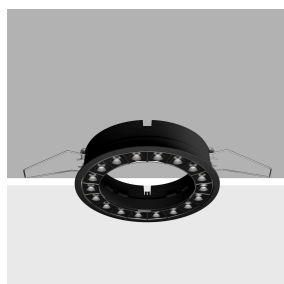
Design iGuzzini

iGuzzini

Letzte Aktualisierung der Informationen: April 2025

Produktkonfiguration: QS42

QS42: Frame Ø 170 - Flood Beam - LED



Technical drawing of a circular manhole cover. The side view shows a height of 44 mm. The top view shows a diameter of $\varnothing 180$. The bottom view shows a diameter of $\varnothing 170$.

Produktcode

QS42: Frame Ø 170 - Flood Beam - LED

Beschreibung

Ringförmige Leuchte mit 18 optischen Elementen für LED-Lichtquellen - feste Optiken. Das optische System garantiert einen sehr hohen Lichtkomfort und Blendfreiheit. Korpus mit strahlender Oberfläche aus Aluminiumdruckguss. Version mit Anschlag-Konturenrahmen. Aluminiumbedampfte Hochleistungsreflektoren aus metallisiertem Thermoplast, die zurückgesetzt gegenüber dem Blendschirm eingebaut und positioniert sind. Komplett mit Versorgungseinheit, die an die Leuchte angeschlossen ist.

Installation

Zum Einbau in abgehängte Decken von 1 bis 25 mm mittels Federn aus Stahldraht - Einbauöffnung Ø 170.

Farben

Weiß (01) | Schwarz/Schwarz (43) | Weiß/Schwarz (47) |
 Weiß/Gold (41)* | White / chrome burnished (E7)*

Gewicht (Kg)

0.68

* Farben auf Anfrage

Montage

Deckeneinbauleuchte

Verkabelung

An der Versorgungseinheit mit eingebauter Klemmleiste. Erhältlich in der Ausführung DALI.

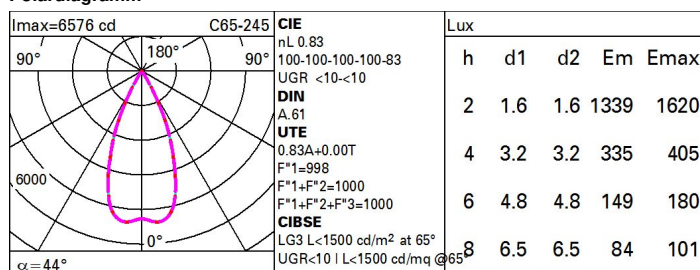
Gemäß der Normen EN60598-1 u. Sondernormen



Technische Daten

| | | | |
|-------------------------------------------------------------|------|-----------------------------------|-------------------------------|
| Im System: | 3320 | Farbtemperatur [K]: | 4000 |
| W System: | 39.1 | MacAdam Step: | 2 |
| Im Lichtquelle: | 4000 | Lebensdauer LED 1: | 50,000h - L90 - B10 (Ta 25°C) |
| W Lichtquelle: | 36 | Eingangsspannung [V]: | 230 |
| Lichtausbeute (lm/W, Systemwert): | 84.9 | Lampencode: | LED |
| Im im Notlichtbetrieb: | - | Anzahl Lampen in Leuchtengehäuse: | 1 |
| abgegebener Lichtstrom bei/ über einem Winkel von 90° [lm]: | 0 | ZVEI-Code: | LED |
| Leuchtenbetriebswirkungsgrad 83 (L.O.R.) [%]: | | Anzahl Leuchtengehäuse: | 1 |
| Abstrahlwinkel [°]: | 44° | Control: | DALI-2 |
| CRI (minimum): | 90 | | |

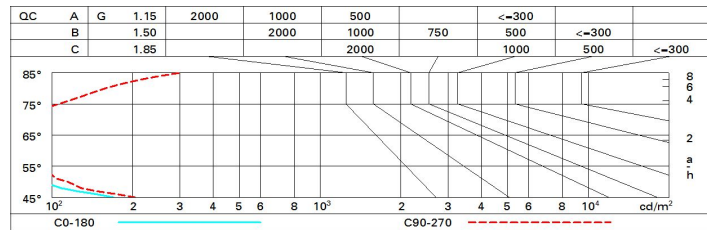
Polardiagramm



Wirkungsgrad

| R | 77 | 75 | 73 | 71 | 55 | 53 | 33 | 00 | DRR |
|------|----|----|----|----|----|----|----|----|-----|
| K0.8 | 75 | 71 | 68 | 66 | 70 | 68 | 68 | 65 | 78 |
| 1.0 | 78 | 75 | 72 | 70 | 74 | 72 | 71 | 69 | 83 |
| 1.5 | 82 | 80 | 77 | 76 | 79 | 77 | 76 | 74 | 89 |
| 2.0 | 85 | 83 | 81 | 80 | 82 | 80 | 79 | 77 | 93 |
| 2.5 | 86 | 85 | 84 | 83 | 84 | 83 | 82 | 79 | 96 |
| 3.0 | 87 | 86 | 85 | 85 | 85 | 84 | 83 | 81 | 98 |
| 4.0 | 88 | 87 | 87 | 86 | 86 | 86 | 84 | 82 | 99 |
| 5.0 | 89 | 88 | 88 | 88 | 87 | 86 | 85 | 83 | 100 |

Söller-Diagramm



UGR-Diagramm

| Corrected UGR values (at 4000 lm bare lamp luminous flux) | | | | | | | | | | |
|-----------------------------------------------------------|-----|------------------|--------------|------|------|------|----------------|------|------|------|
| Reflect.: | | viewed crosswise | | | | | viewed endwise | | | |
| ceiling | cav | 0.70 | 0.70 | 0.50 | 0.50 | 0.30 | 0.70 | 0.70 | 0.50 | 0.50 |
| walls | | 0.50 | 0.30 | 0.50 | 0.30 | 0.30 | 0.50 | 0.30 | 0.50 | 0.30 |
| work pl. | | 0.20 | 0.20 | 0.20 | 0.20 | 0.20 | 0.20 | 0.20 | 0.20 | 0.20 |
| Room dim | | | | | | | | | | |
| x | y | | | | | | | | | |
| 2H | 2H | 2.2 | 2.7 | 2.4 | 3.0 | 3.2 | 2.4 | 3.0 | 2.7 | 3.3 |
| | 3H | 2.0 | 2.5 | 2.3 | 2.8 | 3.1 | 2.3 | 2.8 | 2.6 | 3.1 |
| | 4H | 2.0 | 2.4 | 2.3 | 2.7 | 3.0 | 2.2 | 2.7 | 2.6 | 3.0 |
| | 6H | 1.9 | 2.3 | 2.2 | 2.6 | 3.0 | 2.2 | 2.6 | 2.5 | 2.9 |
| | 8H | 1.8 | 2.3 | 2.2 | 2.6 | 2.9 | 2.1 | 2.5 | 2.5 | 2.9 |
| | 12H | 1.8 | 2.2 | 2.2 | 2.5 | 2.9 | 2.1 | 2.5 | 2.5 | 2.8 |
| 4H | 2H | 2.0 | 2.4 | 2.3 | 2.7 | 3.0 | 2.2 | 2.7 | 2.6 | 3.0 |
| | 3H | 1.8 | 2.2 | 2.2 | 2.5 | 2.9 | 2.1 | 2.5 | 2.5 | 2.8 |
| | 4H | 1.7 | 2.1 | 2.1 | 2.4 | 2.8 | 2.0 | 2.4 | 2.4 | 2.7 |
| | 6H | 1.6 | 1.9 | 2.0 | 2.3 | 2.8 | 1.9 | 2.2 | 2.3 | 2.6 |
| | 8H | 1.6 | 1.9 | 2.0 | 2.3 | 2.7 | 1.9 | 2.2 | 2.3 | 2.6 |
| | 12H | 1.5 | 1.8 | 2.0 | 2.2 | 2.7 | 1.8 | 2.1 | 2.3 | 2.5 |
| 8H | 4H | 1.6 | 1.9 | 2.0 | 2.3 | 2.7 | 1.9 | 2.2 | 2.3 | 2.6 |
| | 6H | 1.5 | 1.7 | 2.0 | 2.2 | 2.6 | 1.8 | 2.1 | 2.3 | 2.5 |
| | 8H | 1.4 | 1.6 | 1.9 | 2.1 | 2.6 | 1.8 | 2.0 | 2.3 | 2.4 |
| | 12H | 1.4 | 1.6 | 1.9 | 2.0 | 2.6 | 1.7 | 1.9 | 2.2 | 2.4 |
| 12H | 4H | 1.5 | 1.8 | 2.0 | 2.2 | 2.7 | 1.9 | 2.2 | 2.4 | 2.6 |
| | 6H | 1.4 | 1.6 | 1.9 | 2.1 | 2.6 | 1.8 | 2.0 | 2.3 | 2.5 |
| | 8H | 1.4 | 1.6 | 1.9 | 2.0 | 2.6 | 1.8 | 2.0 | 2.3 | 2.4 |
| Variations with the observer position at spacing: | | | | | | | | | | |
| S = | | 1.0H | 6.9 / -19.8 | | | | 6.8 / -11.5 | | | |
| | | 1.5H | 9.8 / -20.9 | | | | 9.6 / -11.7 | | | |
| | | 2.0H | 11.8 / -21.3 | | | | 11.6 / -12.0 | | | |